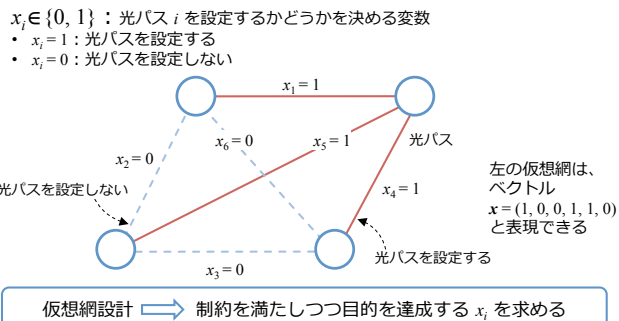


アトラクター選択にもとづく仮想網制御の実装と実証実験によるトラヒック変動に対する適応性の評価

小泉 佑揮¹・荒川 伸一¹・鎌村 星平²・島崎 大作²・
笹山 浩二²・村田 正幸¹

1) 大阪大学 大学院情報科学研究科
2) 日本電信電話株式会社ネットワークサービスシステム研究所

仮想網制御



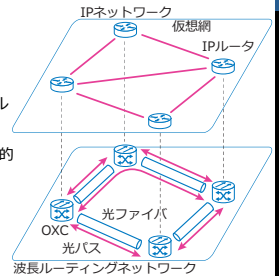
フォトニックスイッチング研究会

3

波長ルーティングネットワークと仮想網制御

■ 波長ルーティングネットワーク

- WDMネットワーク
 - 光バスを設定
 - 波長によって構成される通信チャネル
- 仮想網
 - 電気ルータ光バスにより構成される論理的なトポロジ
- IPネットワーク
 - 論理トポロジを用いてトラヒックを転送



■ 仮想網制御

- 目的に応じて適切に論理トポロジを構築
 - トラヒックの効率的な収容
 - ネットワーク資源の効率的な利用

フォトニックスイッチング研究会

2

アトラクター選択に基づく仮想網制御

■ 環境変化に対する適応性を備えた仮想網制御

- アトラクター選択を応用した仮想網制御方式
 - アトラクター選択
 - ゆらぎを利用し環境変化に適応する生物の振る舞いをモデル化した数理モデル
- トラヒック変動に対する高い適応性
- ネットワーク上の環境変動
 - トラヒック変動
 - ネットワーク機器の障害

■ アトラクター選択に基づく仮想網制御の適応性評価

- 同時多発的に発生する大規模ノード障害に対する適応性を評価

フォトニックスイッチング研究会

5

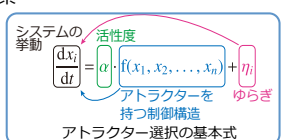
アトラクター選択

■ アトラクター選択

- 未知の環境変化に対する生物の適応性をモデル化
- 例: 大腸菌の環境変化に対する適応性

- システムの動作を決定する3つの要素

- ゆらぎ
- アトラクターを持つ制御構造
- 活性度 (コンディション)



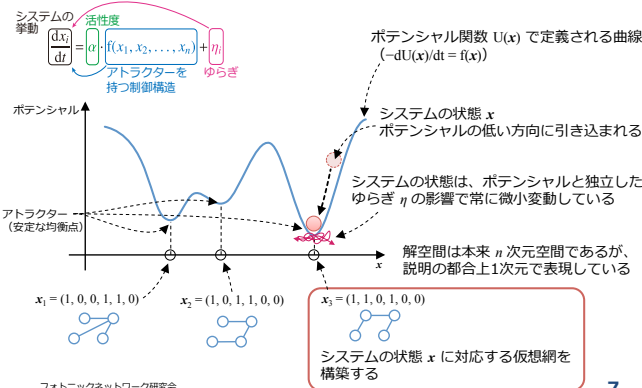
- ゆらぎとアトラクターを持つ制御構造がシステムの挙動に与える影響を活性度に応じて制御

⇒ 環境変化に対する適応性を実現

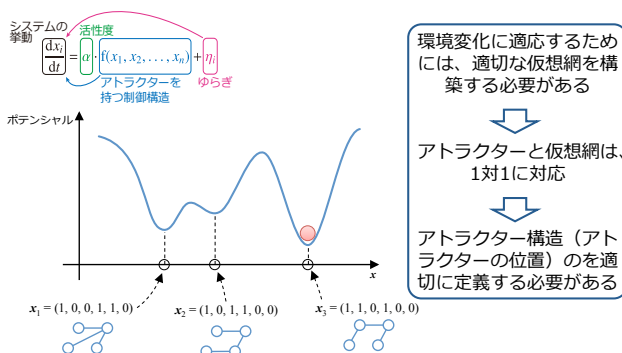
フォトニックスイッチング研究会

6

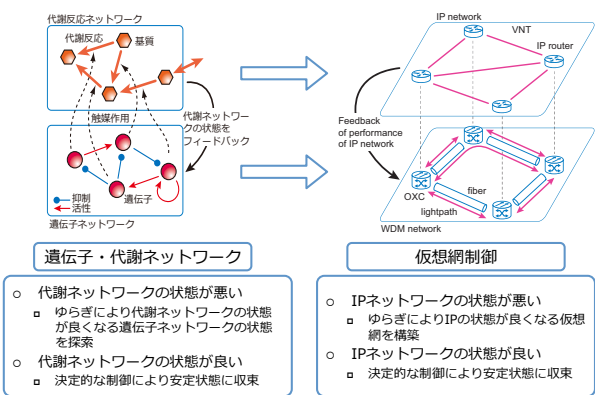
アトラクター選択と仮想網制御



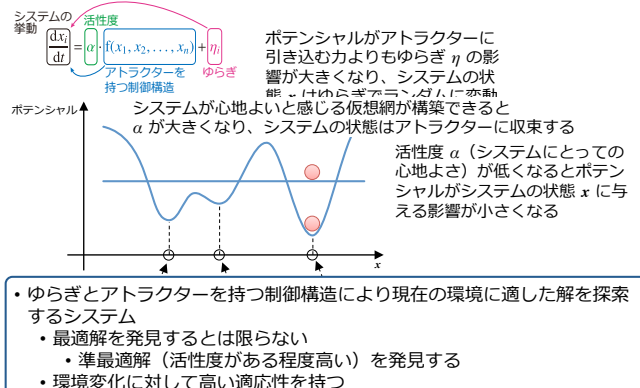
アトラクター選択と仮想網制御



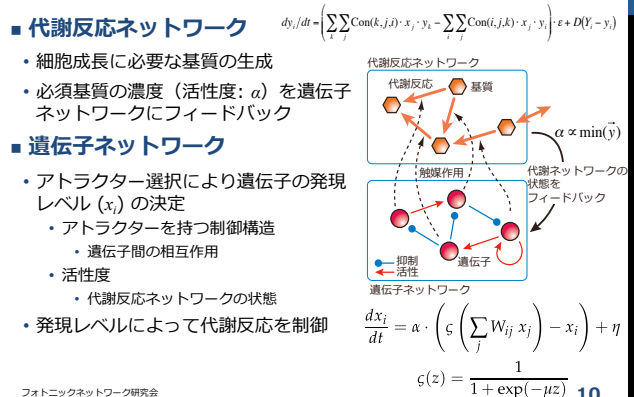
アトラクター選択の仮想網制御への適用



アトラクター選択と仮想網制御



細胞内の遺伝子・代謝ネットワークにおけるアトラクター選択



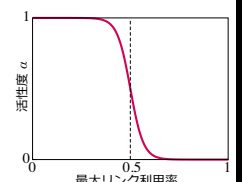
アトラクター選択に基づく仮想網制御

仮想網制御のダイナミクス

$$\frac{dx_i}{dt} = \alpha \cdot \left(\zeta \left(\sum_j W_{ij} x_j \right) - x_i \right) + \eta \quad (1)$$

- $x_i : i$ 番目の光バスを制御
 - $0 < x_i < 0.5$: i 番目の光バスを削除
 - $0.5 \leq x_i < 1$: i 番目の光バスを設定
- α : 仮想網のコンディション（最大リンク利用率）
 - α が大きい → 状態が良い
 - α が小さい → 状態が悪い

$$\zeta(z) = \frac{1}{1 + \exp(-\mu z)}$$



構築される仮想網

- 式 (1) のアトラクター（均衡点） (x_1, \dots, x_n) に対応する仮想網が構築される

アトラクターの定義

■ アトラクター構造

$$\frac{dx_i}{dt} = \alpha \cdot \left(\zeta \left(\sum_j W_{ij} x_j \right) - x_i \right) + \eta$$

- W_{ij} : アトラクター構造を決める制御パラメーター
- ホップフィールドネットワークと同じ構造

■ ホップフィールドネットワークの知見を利用して任意の仮想網をアトラクターとする

- 仮想網の集合 G ($G \ni x_k = (x_1^{(k)}, \dots, x_n^{(k)})$) がアトラクターとなるように $W = \{W_{ij}\}$ を定義

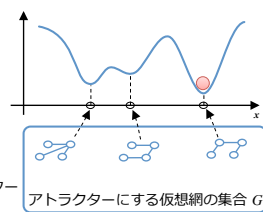
$$W = X^* X \quad X : x_k \in G \text{ を行とする行列}$$

$$X^* : X \text{ の疑似逆行列}$$

- W_{ij} の定義に用いた仮想網集合 G のいずれかの仮想網しか構築されない
 - 環境変化に対して適応的に仮想網を構築できるとは言えない



- アトラクター構造の動的再構成
 - アトラクター構造を環境に応じて動的に再構成する



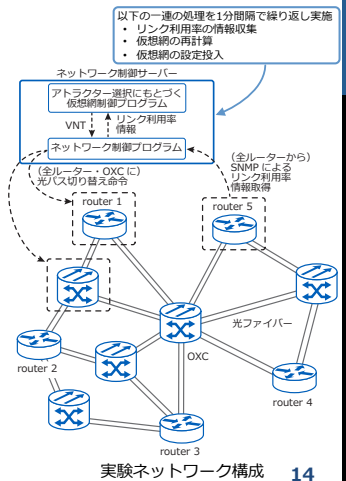
実証実験の概要

■ 実験機材・構成

- 5 IPルーター
 - Juniper MX5/MX10
 - インターフェース: 1000Base-LX
- 5 光コネクティッドスイッチ
 - Glimmerglass System 100



実験機材

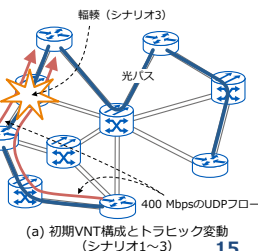


14

実験シナリオ

■ 実験の流れ

1. 実験開始から10分後にrouter2からrouter1に400 MbpsのUDPフローの送信を開始する
2. 実験開始から15分後にrouter3からrouter1に400 MbpsのUDPフローの送信を開始する
3. router1–router2間の光バスの利用率が0.8（輻輳状態）になる
4. リンク利用率の増加を活性度の低下としてゆらぎ制御にフィードバックする
5. ゆらぎ制御による仮想網の再計算



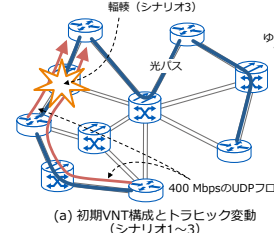
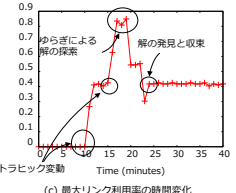
フォトニックネットワーク研究会

15

実験結果

■ アトラクター選択による輻輳回避の結果

- 実験開始から15分のトラヒック変動により最大リンク利用率が0.8に上昇
- 6回の仮想網再構築により最大リンク利用率が低い仮想網を構築
- 輻輳を解消し最大リンク利用率を0.4に下げた



フォトニックネットワーク研究会

16

まとめと今後の課題

■ 環境変化に対する適応性を備えた仮想網制御

- アトラクター選択を用いた仮想網制御

■ 実証実験によるトラヒック変動に対する適応性の検証

- 実環境でも短時間でトラヒック変動に対して適応的に仮想網を構築できることを示した
 - 10回以内の仮想網再構築でトラヒック変動に適応完了
 - 5ノードの小規模ネットワークでの実験

■ 今後の課題

- 実験ネットワークの規模の拡大
- ノードやリンク障害など他の環境変動に対する適応性の評価

フォトニックネットワーク研究会

17